

Investigating and Setting up Solar Panels According to Environmental Parameters

Yousefali Abedini,^{1,2*} Mojtaba Salehi,³ Nasim Eldartanha,⁴ Elnaz Hosinimonfared,⁵ Lida Ebrahimi Zohravi⁶

¹Department of Physics, University of Zanjan, Zanjan, Iran, abediniy@znu.ac.ir

²Center for Research in Climate Change and Global Warming, IASBS, Zanjan, Iran

³Department of Physics, University of Zanjan, Zanjan, Iran, salehi@znu.ac.ir

⁴Faculty of Physics, IASBS, Zanjan, Iran, n.ildartanha@gmail.com

⁵Department of Physics, Abdolrahman Sufi Razi Higher Educational Institute, Zanjan, Iran, monfareds.e@gmail.com

⁶Zanjan Science & Technology, Zanjan, Iran, lidaebrahimi@znu.ac.ir

Keywords:
output power,
temperature,
wind speed,
renewable energy,
cloud thickness,
photovoltaic,
solar cells.

Original Research Article

Paper History:

Received: 24/10/2024

Revise: 17/03/2025

Accepted: 19/03/2025

Abstract: Among the factors affecting solar panels, the amount of cloudiness, wind speed, temperature, latitude, and longitude can be considered. The purpose of this research was to estimate the amount of cloudiness and its effect on the passage of the sun's rays as well as to obtain the efficiency of solar panels in some cities of Iran from different climates; of course, the effects of temperature and wind were also investigated. For this purpose, four cities of Shiraz, Zanjan, Hamedan, and Abbar were considered. The estimation of the amount of cloudiness that affected the voltage, current, and power of the panel was obtained by checking the thickness of the cloud in different layers of the sky. The calculation of radiation emitted on the surface of the panel was undertaken using the Inishin model in PVLib Python software. The effects of cloudiness on the output power of the panel were investigated for each city. According to the results, wind speed and cloudiness, in addition to the effect of temperature, have crucial role in the output power of the panel, even in places where the cloudiness is above 80%.

How to cite this article: Abedini, Y., Salehi, M., Eldartanha, N., Hosinimonfared, E., Ebrahimi Zohravi, L., "Investigating and Setting up Solar Panels According to Environmental Parameters", Energy Engineering and Management, Vol. 14, No. 3, PP. 68-81, 2024. <https://doi.org/10.22052/EEM.2025.255601.1092>

© 2023 University of Kashan Press.

This is an open access article under the CC BY license. (<http://creativecommons.org/licenses/by/4.0/>)



Extended Abstract

Introduction

Today, climate change and global warming have bound human societies to reduce environmental pollutants caused by fossil fuels. Furthermore, the existence of endless and renewable sources of energy such as wind and sun has forced mankind to use new and clean energies to reduce environmental pollutants. Due to the geographical location of Iran and with the solar radiation capacity of 1800 to 2200 kilowatt hours per square meter per year, solar energy has a special place among the types of new energies. Therefore, the exploitation of this energy and the methods and environmental conditions that make this possible are important. Therefore, finding proper location by considering environmental factors, including meteorological factors and air pollution, is very important. In this study, the solar radiation received by the solar panel and its power have been investigated for four cities with different climates according to the effective meteorological factors: i.e., solar radiation, air temperature, cloudiness, and wind speed.

Materials and methods

In this work, PVlib software from Sandia Group was used to simulate the solar radiation and photovoltaic model, which was coded in MATLAB and Python. At the same time, Inshin model was used to calculate the solar radiation and output power of the panel. For this aim, in this software, the Sandia array model includes five basic equations related to short circuit current (I_{sc}), maximum power current (I_{mp}), open circuit voltage (V_{oc}), current at a point with half the open circuit voltage (I_x), the current at the point between the voltage corresponding to the maximum power, and the open circuit voltage (I_{xx}). The input data of the above equations were temperature, air mass function, the angle of the ridge according to the longitude and latitude of the location and the wind speed; their output was the voltage, current, and the energy of the panel. In the next step, a relation for the amount of cloudiness was presented according to the different layers of clouds in the atmosphere; its effect on the total solar radiation was investigated. For verification, the output of the model and the experimental or measured data of solar radiation, as an example for the city Zanjan and for different days, were compared, and the

result showed that they match very well.

Result

First, according to the input data of PVLib software, currents and voltages were obtained as outputs. Then, with the help of the above radiation output and solar panel output power, they were calculated and compared for four cities of Zanjan, Shiraz, Hamedan, and Abbar with different climates. In the next step, the effects of environmental factors such as temperature, wind speed, solar radiation, and cloudiness on the radiation and the output power of the panel was investigated. Then the numerical results and corresponding graphs for four selected cities were extracted and compared. Finally, a score was assigned to each city according to the results obtained so that they could be prioritized. According to the above results, it was observed that there was a direct relationship between cloudiness and the energy received by the panel. It was also found that the output power of the panel decreases with increasing temperature and decreasing wind speed.

Discussion and Conclusion

Due to the fact that solar panels are made of metal and delicate materials such as silicon, sensitive to temperature, the efficiency of the panel, as expected, decreases with an increase in the ambient temperature and an increase in the temperature of the panel. Therefore, considering the temperature, it can be said that the mountainous and cool areas have more efficiency than the hotter areas. The areas with high wind speed also have more panel output power. Cloudiness has reduced the radiation received by the panel, but the interesting result in this case is that even in areas with cloudiness above 60%, the energy received by the panel is considerable. Finally, by summarizing the negative or positive effects of these environmental variables, it shows that the efficiency difference of the four selected cities is only about ten percent different from each other in terms of efficiency. In terms of prioritization, according to the effects of the mentioned environmental polluters, they were ranked as 1. Zanjan, 2. Shiraz, 3. Hamedan, and 4. Abbar respectively. However, due to the small difference in terms of efficiency, it can be said that all four cities photovoltaics are suitable for use.

بررسی و راهاندازی پنلهای خورشیدی با توجه به پارامترهای محیطی

یوسفعلی عابدینی^{۱*} مجتبی صالحی^۲ نسیم ایلدار تنها^۳ الناز حسینی منفرد^۴ لیدا ابراهیمی زهری^۵

^۱ دانشیار گروه فیزیک ، دانشگاه زنجان، زنجان، ایران، abediniy@znu.ac.ir

^۲ دانشیار پژوهشکده تغییر اقلیم، دانشگاه تحصیلات تکمیلی علوم پایه زنجان، زنجان، ایران

^۳ کارشناس ارشد گروه فیزیک ، دانشگاه زنجان، زنجان، ایران، salehi@znu.ac.ir

^۴ کارشناس ارشد دانشکده فیزیک، دانشگاه تحصیلات تکمیلی علوم پایه زنجان، زنجان، ایران، n.ildartanha@gmail.com

^۵ کارشناس ارشد گروه فیزیک، مؤسسه آموزش عالی عبدالرحمن صوفی رازی، زنجان، ایران، monfareeds.e@gmail.com

^۶ کارشناس ارشد پارک علمی و فناوری استان زنجان، زنجان، ایران، lidaebrahimi@znu.ac.ir

واژه‌های کلیدی:

توان خروجی،
دما،
سرعت باد،
انرژی تجدیدپذیر،
ضخامت ابر،
فتولتاویک،
سلولهای خورشیدی.

مقاله علمی پژوهشی

تاریخ دریافت: ۱۴۰۳/۰۸/۰۳

تاریخ بازنگری: ۱۴۰۳/۱۲/۲۷

تاریخ پذیرش: ۱۴۰۳/۱۲/۲۹

چکیده: از عوامل تأثیرگذار بر پنلهای خورشیدی، میزان ابر، سرعت باد، دما، عرض و طول جغرافیایی را می‌توان نام برد. هدف از این پژوهش تخمین میزان ابر و تأثیر آن بر عبور پرتوهای خورشید و به دست آوردن بازده پنلهای خورشیدی در برخی شهرهای ایران از اقلیم‌های مختلف بوده که البته تأثیر دما و باد نیز بررسی گردیده است. برای این کار چهار شهر شیراز، زنجان، همدان و آبیر در نظر گرفته شدند. تخمین میزان ابرناکی که بر ولتاژ، جریان و توان پنل اثر دارد با بررسی ضخامت ابر در لایه‌های مختلف آسمان به دست آمد. محاسبه تابش ساطع شده بر سطح پنل با استفاده از مدل اینشین در نرم‌افزار پی وی لیب پایتون انجام شده است. تأثیرات ابرناکی بر توان خروجی پنل برای هر شهر مورد بررسی قرار گرفت. مطابق نتایج حاصل، ضمن تأیید تأثیر دما، سرعت باد و ابرناکی در توان خروجی پنل، مهم اینکه در مکان‌هایی که حتی ابرناکی بالای ۸۰٪ است، توان قابل توجه است.

افزایش می‌دهد [۱۱]؛ درنتیجه تعیین مکان مناسب برای نصب پنل اهمیت بسزایی دارد.

ایران به رغم دارا بودن قابلیت‌های لازم برای توسعه استفاده از انرژی خورشیدی، همچنان در گیر استفاده از انرژی فسیلی است که این امر ضرورت سرمایه‌گذاری درزمینه توسعه انرژی‌های پاک را روشن می‌سازد. روند رو به رشد استفاده از انرژی با افزایش جمعیت از یکسو و رشد نیازهای بشر ازسوی دیگر، موجب افزایش آلدگی‌های زیست‌محیطی و همچنین از دست رفتن سرمایه‌های کشور در بخش انرژی و سوخت‌های فسیلی شده است.

همچنان‌که اشاره شد، روش‌های مختلفی برای استفاده از انرژی‌های پاک وجود دارد که در این پژوهش یکی از پرکاربردترین روش‌های غیرمستقیم استفاده از انرژی خورشیدی، یعنی روش فتوولتائیک، مورد توجه بوده است [۱۲]. در این پژوهش تلاش شده است تا با بررسی چند شهر ایران (شیزار، همدان، زنجان و آبریز) به کمک شبیه‌سازی، مکان‌های مناسب از نظر وزش باد، ابرناکی و دما برای راهاندازی پنل فتوولتائیک تعیین گردد که روش کار در بخش‌های بعدی شرح داده شده است.

۲. روش کار

در این پژوهش از نرم‌افزار پی وی لیب^۱ برای شبیه‌سازی‌ها استفاده شده است. نرم‌افزار پی وی لیب برای بررسی مدل تابش خورشید و فتوولتائیک، بر پایه کتابخانه متلب و پایتون بنا شده است [۱۳]. دانشمندان مدل‌های مختلفی برای تابش خورشید و توان الکتریکی دریافتی از پنل ارائه داده‌اند [۱۴، ۱۵، ۱۶ و ۱۷]. از جمله می‌توان به مدل‌های دوپس، ایزوتروپیک و اینیشن اشاره کرد که در این پژوهش مدل اینیشن انتخاب شده است [۴، ۱۸ و ۱۹].

در این شبیه‌سازی با استفاده از نرم‌افزار پی وی لیب، پنل (PV) خود را درجه ۱۸۰ درجه شمالی و همچنین زاویه شیب آن را با برای با عرض جغرافیایی هر شهر به صورت ثابت در طول یک سال قراردادیم.

۱.۲. معادلات انرژی فتوولتائیک، ساندیا و درصد ابرناکی
نرم‌افزار پی وی لیب شاخه‌ای از گروه ساندیاست و با همکاری دانشمندان فتوولتائیک توسعه داده شده است [۱۳ و ۲۰]. یکی از مدل‌های استفاده شده در این نرم‌افزار مدل آرایه ساندیاست که شامل پنج معادله اولیه جریان اتصال کوتاه ISC، جریان بیشینه Tovan و ولتاژ مدار باز V_{oc} ، جریان در نقطه‌ای که ولتاژ آن نصف ولتاژ مدار باز

۱. مقدمه

از دیرباز، منابعی که برای تأمین انرژی بشر در دسترس بودند، محدود به سوخت‌های فسیلی بود، تا اینکه در قرن بیست و یکم، پیشرفت فناوری، لزوم کاهش آلودگی‌های زیست‌محیطی ناشی از سوخت‌های فسیلی و از همه مهم‌تر، دسترسی به منابع بی‌پایان و تجدیدپذیر، بشر را بر این داشت تا با استفاده از انرژی‌های نو و پاک به فکر کاهش آلاینده‌های محیط‌زیست باشد. روش‌های زیادی برای بهره‌مندی از انرژی‌های پاک وجود دارد. در این‌ین، انرژی فتوولتائیک (تبديل انرژی خورشیدی به الکتریسیته) از جایگاه ویژه‌ای برخوردار است. مطابق اظهارنظر کارشناسان، ایران در کمیند تابش خورشید قرار گرفته و به همین علت میزان تابش خورشید در ایران بین ۱۸۰۰ تا ۲۲۰۰ کیلووات ساعت بر متر مربع در سال تخمین زده شده است، که ظرفیتی بی‌نظیر برای تأمین انرژی خورشیدی محسوب می‌شود [۱]. زمانی که بحث انرژی به میان می‌آید، بهره‌وری هرچه بیشتر از انرژی، روش‌ها و شرایطی که این مهم را امکان‌پذیر می‌کند، مورد توجه خواهد بود [۲ و ۳]. درنتیجه یافتن مکان‌هایی برای بیشترین انرژی با کمترین هزینه، مورد بررسی دانشمندان در سراسر جهان بوده است. نتایج حاکی از آن است که عوامل محیطی تأثیر بسزایی در بازدهی پنل فتوولتائیک دارند. از عوامل تأثیرگذار بر انرژی دریافتی از پنل می‌توان به تابش خورشید، دمای محیط و پنل، ابرناکی، سرعت و جهت باد اشاره کرد. حسینی منفرد همکاران توانستند تابش را برای سطوح شبیه‌دار و همچنین اثرات برخی متغیرهای هواشناسی را برای چند شهر ایران مورد شبیه‌سازی قرار بدنهند [۴]. پنل فتوولتائیک (PV)، حدود ۱۲ تا ۲۰ درصد تابش خورشید را به انرژی الکتریکی تبدیل می‌کند و بقیه انرژی خورشیدی به گرما تبدیل می‌شود [۵ و ۶]. پس از اینکه پرتو خورشید به پنل تابیده شد، پنل گرم می‌شود که به موجب این امر توان خروجی و کارایی پنل کاهش می‌یابد [۷ و ۸].

پنل فتوولتائیک مانند یک جرم حرارتی عمل می‌کند؛ درنتیجه شرایط محیطی بهویژه دمای هوا بر بازدهی آن تأثیر بسزایی دارد که توسطه هو و همکاران به‌طور کامل توضیح داده شده است [۹]. همچنین تأثیرات گرما بر پنل به صورت تجربی مورد بررسی قرار گرفته است و در هوای صاف و آفتابی پنل می‌تواند بین ۱۲۵ تا ۸۰۰ وات بر متر مربع از تابش خورشید، انرژی دریافت کند. همچنین سرعت و جهت باد از جمله مهم‌ترین پارامترهای تعیین‌کننده دمای پنل هستند [۱۰]. وقتی جریان هوا از یک سطح پنل عبور می‌کند در مدت ۱ دقیقه، ۱۵ درصد دمای پنل را کاهش و بازدهی را ۷ تا ۸ درصد

موجب کاهش بازدهی می‌گردد؛ بنابراین هرچه دمای پنل کاهش پیدا کند، بازدهی افزایش می‌یابد.

در این پژوهش، از نرمافزار پی وی لیب برای به دست آوردن ولتاژ، جریان‌ها و انرژی پنل از معادلات فوق استفاده شده است.

۲.۲. ابرناکی

در علم هواشناسی لایه ابرها را می‌توان در سه ارتفاع اصلی طبقه‌بندی کرد که عبارت اند از: بالا یا سیروس، میانی یا آلتو استراتوس، پایین یا استراتوکومولوس است. هر لایه از نظر متراکمی ضخامتی دارد که میزان ضخامت ابر، یا میزان تغیری ابرناکی را نشان می‌دهد. همچنین در علم هواشناسی از دید افق ناظر، آسمان را به هشت قسمت‌های مساوی تقسیم می‌کنند و با مشاهده آسمان تخمین می‌زنند، چند درصد آسمان ابری است، برای مثال زمانی که لایه بالا عدد هشت بر هشت (۸/۸) نوشته شده باشد، یعنی تمام آسمان در این لایه را ابر پوشانده است. منظور از تمام آسمان، افق دید ناظر است؛ زیرا در هواشناسی میزان ابر را کارشناس هواشناسی با ایستادن در فضای باز و به صورت چشمی تخمین می‌زنند. معادله‌ای برای محاسبه میزان ابرناکی کل در هر لایه وجود ندارد؛ اما نویسنده‌گان این مقاله، با مشاورت با کارشناسان هواشناسی، رابطه زیر را برای محاسبه میزان ابرناکی در نظر گرفته‌اند:

$$\text{Cloud}_{\text{cover}} = \frac{65 \times n1}{8} + \frac{25 \times n2}{8} + \frac{10 \times n3}{8} \quad (11)$$

این عبارت میزان ابر کل بر حسب درصد در هر سه ساعت را به دست می‌دهد. $n1$, $n2$ و $n3$ به ترتیب مقدار ابر در سه لایه از آسمان است. تأثیر ابر بر انرژی خورشیدی طبق رابطه زیر به دست می‌آید.

$$\text{GHI} = (\text{offset} + (1 - \text{offset})(1 - \text{cloudcover})) \quad (12)$$

در عبارت فوق، $\text{offset}=0.35$ است؛ یعنی اگر صدرصد آسمان ابری باشد، انرژی کل دریافتی پنل از خورشید ۳۵ درصد است. GHI^1 تابش کل دریافتی پنل است. این تابش اهمیت ویژه‌ای دارد و برای بررسی توان دریافتی از پنل مورد توجه است.

۳. نمودار آرایه ساندیا

همان‌طور که در بخش‌های پیشین عنوان شده، چهار جریان I_{xx} , I_{sc} , I_{mp} و I_x و ولتاژ‌های V_{oc} , V_{sc} , V_{mp} بخشی از داده‌های خروجی برنامه پی‌وی لیب است که برای بررسی نمودار آرایه ساندیا مورد توجه هستند [۲۴]. در ادامه به عنوان نمونه نمودارهای مربوط برای اردیبهشت‌ماه سال ۱۳۹۷ در شکل (۱) ارائه شده است.

است I_x جریان در نقطه‌ای که ولتاژ در آن مابین ماکریم توان و ولتاژ مدار باز است I_{xx} [۲۱ و ۲۲]. معادله جریان اتصال کوتاه با رابطه زیر به دست می‌آید:

$$I_{sc} = I_{sc0} f_1(\text{AM}) \left[\frac{G_{poa}}{G_0} \right] \left[1 + \hat{\alpha}_{I_{sc}} \right] [T_c - T_0] \quad (1)$$

که در آن، I_{sc0} جریان اتصال کوتاه اولیه، G_0 پارامتر ثابت و T_c دمای پنل و T_0 دمای محیط است. همچنین تابع غلظت هوا ($f_1(\text{AM})$) به صورت زیر است:

$$f_1(\text{AM}) = a_1 + a_2 (\text{AM})^2 + a_3 (\text{AM})^3 + a_4 (\text{AM})^4 \quad (2)$$

$$AM = 1/\cos \theta_z$$

$$\theta_z = 90^\circ - \gamma_s$$

در رابطه فوق Θ_z زاویه سمت الماس AM جرم هوا و γ_s زاویه طول جغرافیایی (ارتفاع خورشید) است. اطلاعات مربوط به پارامترهای ثابت و کاربرد هریک از پارامترهای آرایه ساندیا در [۲۳] توضیح داده شده است.

سایر معادلات مربوط به V_{mp} , V_{oc} , I_{mp} , I_x , I_{xx} و V_{sc} به صورت زیر هستند [۱۲ و ۱۳]:

$$I_{xx} = I_{xx0} \left[C_6 E_e + C_7 E_e^2 \right] \left[1 + \hat{\alpha}_{I_{mp}} \right] [T_c - T_0] \quad (3)$$

$$I_x = I_{xo} \left[C_4 E_e + C_5 E_e^2 \right] \left[1 + \frac{\hat{\alpha}_{I_{sc}} + \hat{\alpha}_{I_{mp}}}{2} \right] [T_c - T_0] \quad (4)$$

$$V_{oc} = V_{oco} + N_s \delta(T_c) \log E_e + \beta_{voc} [T_c - T_0] \quad (5)$$

$$V_{mp} = V_{mpo} + C_2 N_s \delta(T_c) \log E_e + C_3 N_s [\delta(T_c) \log E_e]^2 + \beta_{vmp} [T_c - T_0] \quad (6)$$

$$I_{mp} = I_{mpo} \left[C_0 E_e + C_1 E_e^2 \right] \left[1 + \hat{\alpha}_{I_{mp}} \right] [T_c - T_0] \quad (7)$$

در روابط فوق، ولتاژ مدار باز V_{oc} ، ولتاژ در حالت ممکن و V_{mp} در نقطه‌ای است که توان بیشینه است. تابش مؤثر طبق رابطه زیر تعریف می‌شود:

$$E = \frac{I_{sc}}{I_{sc0} [1 + \hat{\alpha}_{I_{sc}} [T_c - T_0]]} \quad (8)$$

تأثیر باد بر دمای پنل طبق رابطه زیر است:

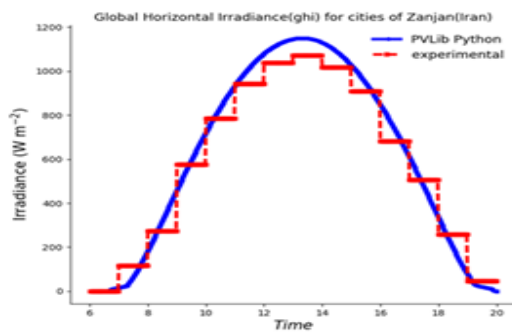
$$T_m = E \cdot \{e^{a+b \cdot WS}\} + T_a \quad (9)$$

که T_m و T_a به ترتیب دمای پنل و محیط، و WS سرعت باد است. a و b پارامترهای ثابت هستند که مقادیر آن‌ها در ضمیمه ۱ جدول آورده شده است [۱۳].

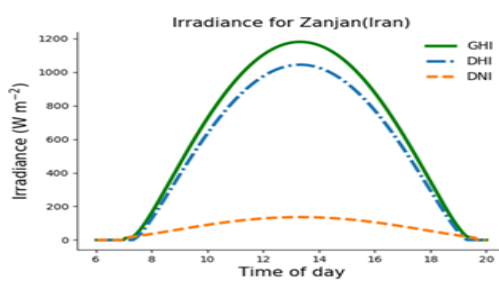
طبق رابطه فوق، هرچه سرعت باد بیشتر باشد، دمای پنل کاهش می‌یابد. از آنجاکه تقریباً ۷۰ درصد از تابش فرودی بر پنل به گرما تبدیل می‌شود و دمای پنل تا حدود ۶۰ درجه افزایش می‌یابد. این امر

۴.۲. راستی آزمایی

برای راستی آزمایی خروجی مدل و داده‌های تجربی برای انرژی کل تابش خورشیدی برای روزهای مختلف باهم مورد مقایسه قرار گرفته که به عنوان نمونه نتایج برای شهر زنجان و برای روز هشتم فروردین در شکل (۲) الف) آورده شده است. نمودار به دست آمده از شبیه‌سازی با داده‌های دریافتی از اداره هواشناسی استان زنجان مقایسه شده است (برای راستی آزمایی داده تجربی سال ۲۰۱۳ که در دسترس بود انتخاب گردید). داده تجربی تابش کل (رنگ سبز)، تابش مستقیم (آبی) و تابش پراکنده (قرمز) در شکل (۲) ب) آورده شده است. زمان طلوع و غروب خورشید مشخص شده است و مقدار انرژی از صفر به مقدار بیشینه در ظهر، و هنگام غروب آفتاب مجدد به صفر می‌رسد. این امر از پیوسته بودن نمودار قابل استنباط است.



(الف)



(ب)

شکل (۲): (الف) نمودار مقایسه انرژی کل به دست آمده از داده‌های خروجی بی‌ولیپ طی یک روز در شهر زنجان و داده‌های هواشناسی متناظر (خطوط پیوسته، داده‌های شبیه‌سازی و خطوط گستته، داده‌های تجربی را نشان می‌دهد). (ب) نمودار تابش کل (سبز)، تابش مستقیم (آبی) و تابش پراکنده (قرمز) در همان روز

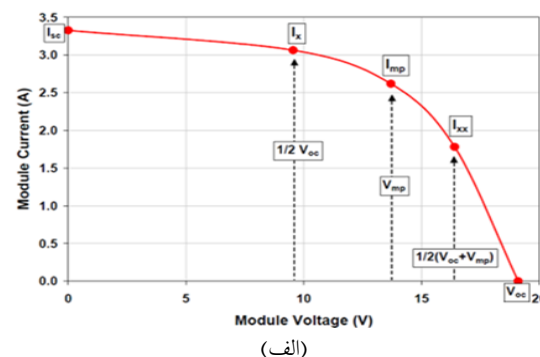
۳. نتایج

۳.۱. تأثیرات ناشی از ابرناکی بر انرژی دریافتی پنل

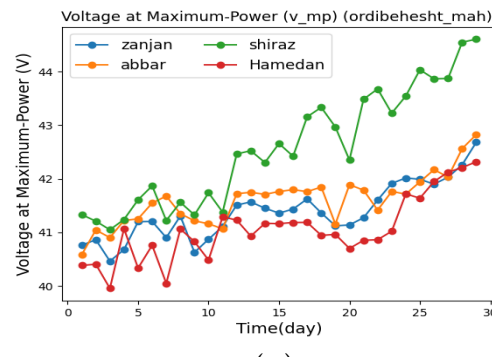
از داده‌های خروجی برنامه پی‌وی‌لیب - پایتون، داده مرتبط با توان حاصل ضرب ولتاژ در جریان، تابش کل و پوشش ابر بیشتر از سایر متغیرها مورد توجه این کار بوده است. در مراحل بعدی، مقایسه بین مقادیر دما، سرعت باد، پوشش ابر، توان و تابش هریک از چهار شهر

هریک از نمودارهای شکل (۱) در بخش خاصی از صنعت مهم بوده و از این بابت تمامی این پارامترها ارزشمندند. برای ذخیره ولتاژ نیاز به باتری داریم، اما چون باتری گران است معمولاً تنها در مکان‌هایی که استفاده مستقیم مدنظر باشد از ولتاژ بالا استفاده می‌کنیم.

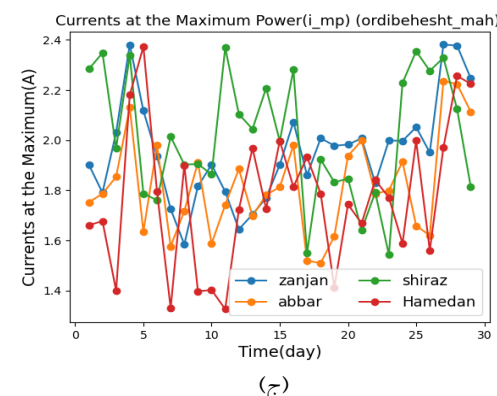
ولتاژ در مسافت‌های طولانی مهم است، زیرا دمای سیم نباید بیشتر از حد خاصی باشد (جریان کمینه باشد) و همچنین اتلاف باید به کمترین حد ممکن کاهش یابد؛ درنتیجه در دکلهای انتقال برق بین شهری و ولتاژهای بالا منتقل می‌شود. با این حال، موقع مصرف جریان را افزایش و ولتاژ را کاهش می‌دهیم تا دستگاه نسوزد.



(الف)



(ب)



(ج)

شکل (۱): (الف) نمودار آرایه ساندیا و شکل (ب) V_{mp} ولتاژ در نقطه‌ای است که توان بیشینه است و شکل (ج) جریان در نقطه‌ای که توان بیشینه است I_{mp}

جدول (۳): مقادیر انرژی دریافتی از خورشید و ابرناکی سال‌های ۱۳۹۷ و ۱۳۹۸ در شهر همدان

همدان						
سال	انرژی (w/m ²)	ابرناکی (%)	سال	انرژی (w/m ²)	ابرناکی (%)	سال
۱۳۹۸	۴۰۹/۲۸	۳۷/۲۸	۱۳۹۷	۴۳۵/۸۴	۲۹/۸۹	فروردين
	۴۵۷/۷۰	۲۷/۹۹		۳۹۹/۱۵	۴۳/۲۴	اردبیهشت
	۵۱۲/۲۹	۱۲/۷۷		۴۷۱/۶۵	۲۳/۱۸	خرداد
	۵۲۴/۹۶	۵۰/۰۴		۵۲۳/۹۸	۵/۸۴	تیر
	۵۰۲/۳۵	۱۸/۰۰		۴۹۷/۸۲	۱۸/۹۵	مرداد
	۵۳۸/۶۹	۷/۱۳		۵۳۶/۹۲	۵/۹۴	شهریور
	۴۸۱/۸۲	۱۲/۸۹		۴۸۱/۸۲	۲۴/۳۶	مهر
	۳۵۴/۴۹	۲۷/۷۰		۴۹۸/۹۴	۳۷/۴۶	آبان
	۲۸۹/۹۵	۳۳/۱۹		۴۰۷/۵۲	۲۹/۳۳	آذر
	۳۰۸/۵۲	۲۹/۱۸		۳۱۷/۴۵	۲۶/۴۶	دی
	۳۶۰/۸۶	۲۶/۸۵		۳۵۵/۲۳	۲۸/۲۴	بهمن
	۴۰۲/۸۷	۳۱/۷۳		۴۰۲/۸۶	۲۷/۳۴	اسفند

جدول (۴): مقادیر انرژی دریافتی از خورشید و ابرناکی سال‌های ۱۳۹۷ و ۱۳۹۸ در شهر آبیر

آبیر						
سال	انرژی (w/m ²)	ابرناکی (%)	سال	انرژی (w/m ²)	ابرناکی (%)	سال
۱۳۹۸	۳۹۹/۶۸	۲۵/۱۹	۱۳۹۷	۳۹۱/۸۱	۲۸/۶۴	فروردين
	۴۲۳/۸۶	۱۸/۷۱		۴۰۴/۴۹	۳۰/۲۳	اردبیهشت
	۴۵۲/۲۴	۱۲/۴۵		۴۳۹/۷۱	۲۶/۶۲	خرداد
	۴۶۴/۷۳	۱۴/۶۱		۴۸۰/۱۵	۷/۰۳	تیر
	۴۵۶/۷۶	۲۱/۳۸		۴۴۲/۲۶	۱۹/۶۲	مرداد
	۴۱۷/۷۰	۱۵/۸۱		۴۷۵/۵۶	۵/۷۲	شهریور
	۴۰۲/۳۶	۲۲/۲۵		۳۸۴/۴۸	۲۰/۷۱	مهر
	۳۲۲۳/۲۴	۲۷/۶۵		۲۷۸/۹۹	۳۲/۱۶	آبان
	۲۵۴/۰۵	۲۶/۳۴		۲۴۵/۷۶	۳۰/۱۴	آذر
	۲۶۵/۹۴	۲۸/۳۷		۲۷۱/۹۵	۲۳/۵۴	دی
	۲۹۰/۴۰	۲۰/۹۰		۳۲۹/۲۳	۲۰/۹۳	بهمن
	۳۶۴/۲۳	۲۰/۰۰		۳۶۴/۴۴	۲۹/۱۳	اسفند

جدول (۵): انرژی کل و ابرناکی در سال‌های ۱۳۹۷ و ۱۳۹۸ برای چهار شهر

همدان			شیراز			
سال	انرژی کل (w/m ²)	ابرناکی (%)	سال	انرژی کل (w/m ²)	ابرناکی (%)	
۱۳۹۷	۵۳۲۹/۳۰	۱۵/۵۰	۱۳۹۸	۵۳۷۶.۶۰	۲۹/۶۹	فروردين
۱۳۹۸	۵۱۴۳/۸۱	۱۴/۴۷		۵۴۶۵/۰۲	۴۴۱/۶۷	اردبیهشت
آبیر			زنجان			
سال	انرژی کل (w/m ²)	ابرناکی (%)	سال	انرژی کل (w/m ²)	ابرناکی (%)	
۱۳۹۷	۴۵۰۸/۸۵	۲۰/۳۰	۱۳۹۸	۵۱۷۲/۳۸	۲۹/۹۶	اسفند
۱۳۹۸	۴۵۱۵/۲۱	۱۷/۰۰		۵۱۶۷/۲۳	۴۹۳/۱۱	خرداد

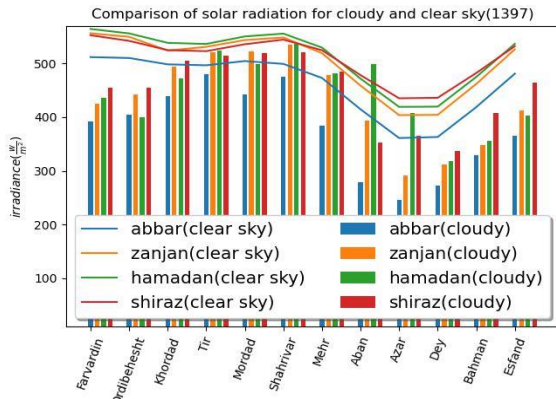
زنجان، آبر، شیراز و همدان انجام می‌پذیرد. در این بخش، نمونه‌ای از نمودارهای جريان و ولتاژ ارائه می‌شود که برای دستیابی پارامترهای توان و تابش مورد استفاده برنامه بوده‌اند. در ابتدا برنامه با توجه به داده‌های ورودی، جريان و ولتاژ‌های فوق الذکر را تولید می‌کند و طبق روابط مطرح شده در بخش ۱.۲، از این پارامترها برای محاسبه تابش و توان که دو پارامتر مهم در بررسی انرژی قتوولتائیک است، بهره می‌برد. در ادامه تأثیر عوامل محیطی بر خروجی پنل مورد بررسی قرار گرفته است. در این بخش نتایج تحلیل برای میزان ابرناکی و انرژی دریافتی پنل در جدول (۱) تا (۴) برای ماههای مختلف سال و در جدول (۵) برای سالانه در دو سال ۱۳۹۷ و ۱۳۹۸ آورده شده است.

جدول (۱): مقادیر انرژی دریافتی از خورشید و ابرناکی سال‌های ۱۳۹۷ و ۱۳۹۸ در شهر شیراز

شیراز						
سال	انرژی (w/m ²)	ابرناکی (%)	سال	انرژی (w/m ²)	ابرناکی (%)	سال
۱۳۹۸	۴۳۱/۴۶	۲۹/۱۶	۱۳۹۷	۴۵۵/۱۸	۲۳/۰۵	فروردين
	۴۷۹/۰۳	۱۹/۴۶		۴۵۴/۹۹	۲۴/۳۹	اردبیهشت
	۴۹۷/۰۴	۹/۵۳		۵۰۴/۳۲	۷/۱۹	خرداد
	۴۹۳/۵۴	۱۰/۰۹		۵۱۴/۹۲	۳/۰۵	تیر
	۵۰۲/۲۴	۱۲/۰۳		۵۱۸/۸۷	۵/۶۵	مرداد
	۵۲۳/۹۴	۵/۸۶		۵۲۰/۲۷	۷/۱۷	شهریور
	۴۹۱/۴۰	۱۰/۱۰		۴۸۳/۹۱	۱۱/۶۹	مهر
	۴۱۸/۲۰	۱۵/۵۴		۵۳۲/۱۲	۲۸/۹۵	آبان
	۳۶۴/۲۱	۱۸/۱۹		۳۶۴/۵۵	۱۶/۸۴	آذر
	۳۸۱/۵۶	۱۳/۹۶		۳۳۷/۶۳	۲۳/۹۸	دی
	۴۲۱/۳۰	۱۳/۶۷		۴۰۷/۰۳	۱۸/۲۹	بهمن
	۴۶۱/۴۳	۱۵/۰۲		۴۶۴/۸۴	۱۵/۳۴	اسفند

جدول (۲): مقادیر انرژی دریافتی از خورشید و ابرناکی سال‌های ۱۳۹۷ و ۱۳۹۸ در شهر زنجان

زنجان						
سال	انرژی (w/m ²)	ابرناکی (%)	سال	انرژی (w/m ²)	ابرناکی (%)	سال
۱۳۹۸	۴۲۸/۵۲	۳۰/۸۸	۱۳۹۷	۴۲۴/۶۹	۲۹/۶۹	فروردين
	۴۶۹/۷۰	۲۱/۴۰		۴۴۱/۶۷	۲۹/۵۷	اردبیهشت
	۴۹۳/۱۱	۱۴/۹۶		۴۹۳/۱۱	۱۸/۰۷	خرداد
	۵۱۵/۰۲	۶/۱۵		۵۲۰/۷۴	۵/۲۸	تیر
	۵۲۱/۸۱	۸/۳۱		۵۲۱/۸۱	۱۴/۳۴	مرداد
	۵۲۲/۵۹	۷/۹۵		۵۳۴/۵۵	۳/۶۷	شهریور
	۴۷۷/۶۸	۹/۹۱		۴۷۷/۶۸	۱۶/۴۸	مهر
	۳۷۶/۱۳	۱۹/۷۳		۳۹۳/۸۲	۲۸/۲۸	آبان
	۲۸۸/۷۸	۲۸/۲۴		۲۹۰/۹۱	۲۷/۸۴	آذر
	۳۱۲/۵۰	۲۴/۵۶		۳۱۲/۵۰	۲۵/۲۸	دی
	۳۴۸/۳۵۹	۲۵/۹۶		۳۴۸/۵۹	۲۲/۶۳	بهمن
	۴۱۲/۲۸	۲۶/۷۱		۴۱۲/۲۸	۲۲/۳۲	اسفند
	۴۱۲/۲۸	۲۶/۷۱		۴۱۲/۲۸	۲۲/۳۲	



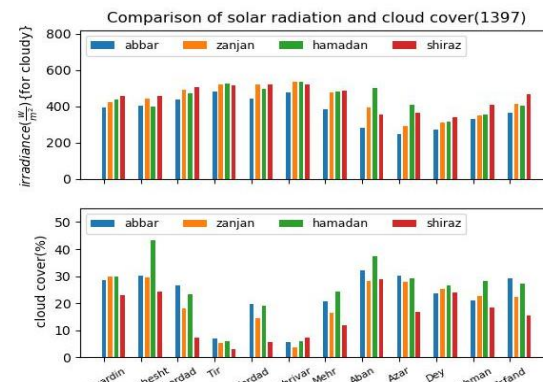
شکل (۶): مقایسه انرژی دریافتی با و بدون احتساب ابرناکی سال ۱۳۹۸

مطابق شکل‌های فوق متوسط درصد ابرناکی در طی ماههای مختلف و انرژی دریافتی پنل خورشیدی رابطه مستقیم دارند. هرچه میزان ابرناکی کمتر باشد، انرژی دریافتی از پنل بیشتر است. بالین حال در برخی نمودارها تأثیرات سایر عوامل از جمله دمای هوا مشهود است. برای شهر شیراز به عنوان مثال، متوسط درصد ابرناکی ماههای مهر و شهریور تقریباً یکسان است؛ اما تفاوت انرژی دریافتی دو ماه حلود و ۲۰٪ است که میزان قابل توجهی است. این امر به موجب خنکی هوای مهرماه نسبت به شهریورماه است. با توجه به نمودارها در شکل‌های (۵) و (۶)، در ماه فروردین ارتباط مستقیم و مشهودتری بین ابرناکی و انرژی دریافتی پنل در شهرهای مورد بررسی وجود دارد؛ زیرا در این ماه هوا در چهار شهر متعادل است و عامل تعیین‌کننده میزان ابر در آسمان است. برای مثال در شهر شیراز زمانی که میزان ابرناکی نزدیک صفر درصد است، انرژی دریافتی پنل بیشتر از ۵۰۰ وات بر متر مربع است.

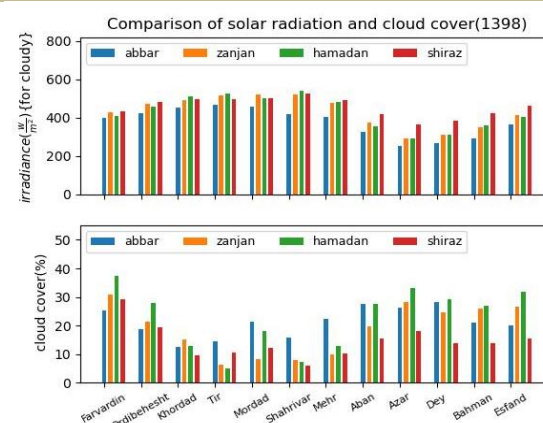
۲.۲. مقایسه داده‌های روزانه چهار ماه انتخابی ۱۳۹۸

پس از بررسی و مقایسه درصد ابرناکی و انرژی دریافتی در تمامی ماههای سال ۱۳۹۷ و ۱۳۹۸ در هر چهار شهر که در بخش قبل بررسی شد، تغییرات درصد ابرناکی، سرعت باد، دما، انرژی دریافتی پنل و توان خروجی پنل برای چهار ماه (به عنوان نمونه یک ماه از هر فصل) سال ۱۳۹۷ و ۱۳۹۸ مورد تحلیل قرار گرفت که نتایج آن برای سال ۱۳۹۷ و ۱۳۹۸ در جدول (۶) و (۷) آورده شده است. در ادامه نتایج روزانه متغیرهای فوق برای چهار ماه اردیبهشت، مرداد، مهر و بهمن همراه نمودارهای مربوطه مقایسه شده‌اند تا تأثیر هریک از پارامترها مشخص گردد. در این کار سه ماه مرداد، مهر و بهمن با اردیبهشت ماه مورد مقایسه قرار گرفته‌اند؛ بنابراین ابتدا تغییرات در ماه اردیبهشت انجام گرفته که نمودارهای آن در شکل (۷) آورده شده است. نتایج تحلیل این ماه در ادامه آورده شده است.

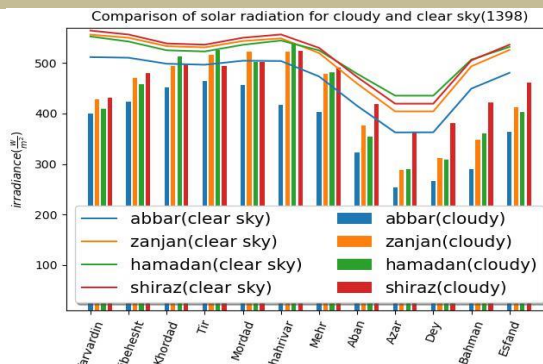
همچنین نمودار حاصل از داده‌های فوق در شکل (۳) تا (۶) نشان داده شده است. مطابق نمودارهای شکل (۳) و (۴) در ماههایی از سال که ابرناکی در شهرهای مورد مطالعه تقریباً یکسان است، توان بیشتر، برای شهرهایی است که دمای هوا خنکتری دارند. برای مثال در شهریورماه سال ۱۳۹۷ میزان ابرناکی شهرها تقریباً یکسان است، اما در شهر زنجان و همدان توان دریافتی از پنل بیشتر از شیراز و آبر است؛ زیرا زنجان و همدان خنک‌ترند. تأثیرات ابرناکی بر میزان توان خروجی پنل و انرژی دریافتی پنل در شکل‌های (۵) و (۶) قابل مشاهده‌اند.



شکل (۳): مقایسه درصد ابرناکی و میزان انرژی دریافتی در شهرهای آبر، زنجان، همدان و شیراز سال ۱۳۹۷



شکل (۴): مقایسه درصد ابرناکی و میزان انرژی دریافتی در شهرهای آبر، زنجان، همدان و شیراز سال ۱۳۹۸



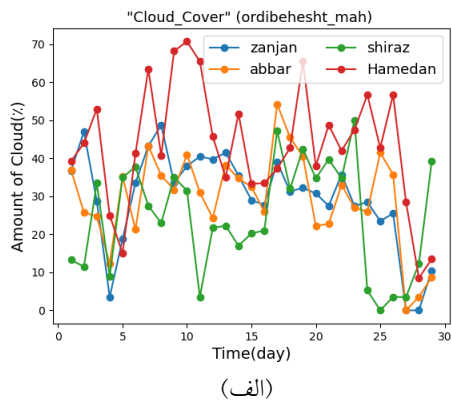
شکل (۵): مقایسه انرژی دریافتی با و بدون احتساب ابرناکی سال ۱۳۹۷

جدول (۷): دامنه تغییرات ابرناکی، سرعت باد، دما، انرژی و توان خروجی پنل در چهار ماه انتخابی طی سال ۱۳۹۸ برای شهرهای مورد مطالعه

توان (W)	انرژی (w/m ²)	سرعت باد (m/s)	دما (°C)	ابرناکی (%)	ماه
شیراز					
۸۰-۱۲۰	۳۵۰-۵۵۰	۱-۶	۱۷/۵-۲۷/۵	۰-۵۰	اردیبهشت
۹۰-۱۲۰	۳۸۰-۵۳۰	۱-۲/۵	۳۴-۳۶	۰-۴۰	مرداد
۸۲-۱۲۳	۴۱۷-۵۰۵	۰/۴-۳/۶	۱۹/۵-۲۹	۰-۲۳	مهر
۷۰-۱۰۸	۲۷۹-۴۸۵	۰/۴-۴/۶	۶/۴-۱۵	۰-۳۲	بهمن
همدان					
۶۸-۱۱۳	۲۹۵-۵۳۷	۱/۴-۶/۸	۹/۲-۱۷/۸	۱۵-۵۶	اردیبهشت
۹۷-۱۲۵	۴۲۴-۵۵۴	۱/۸-۵/۸	۲۶/۲-۳۸	۰-۵۰	مرداد
۶۶-۱۲۳	۳۳۷-۵۴۵	۱/۲-۵/۲	۱۲-۲۲/۸	۰-۵۵	مهر
۳۷-۹۶	۱۶۳-۴۹۴	۰/۲-۵/۶	-۲-۷	۰-۶۴	بهمن
زنجان					
۸۳-۱۱۹	۳۵۴-۵۴۲	۱/۴-۳/۲	۹/۸-۱۹/۴	۰-۴۹	اردیبهشت
۹۰-۱۲۴	۳۹۲-۵۴۸	۱/۲-۴/۴	۲۲-۳۲/۸۲	۰-۲۹	مرداد
۷۴-۱۲۲	۳۲۴-۵۳۸	۱-۴/۸	۱۲/۷-۲۲	۰-۴۰	مهر
۵۲-۱۰۷	۲۳۱-۴۹۹	۱/۴-۳/۶	-۳-۸	۰-۵۲	بهمن
آبیار					
۷۷-۱۱۳	۳۵۰-۵۰۵	۰/۸-۵/۲	۱۲/۰-۸-۲۵	۰-۵۴	اردیبهشت
۸۲-۱۱۶	۳۶۶-۵۰۶	۲-۷	۲۵/۲-۳۳	۰-۳۵	مرداد
۶۱-۱۱۳	۲۶۸-۴۹۰	۱-۵/۸	۱۶-۲۷	۰-۳۴	مهر
۴۹-۱۰۰	۲۱۳-۴۴۱	۰/۸-۲/۶	۲/۴-۱۳	۰-۴۰	بهمن

جدول (۶): دامنه تغییرات ابرناکی، سرعت باد، دما، انرژی و توان خروجی پنل در چهار ماه انتخابی طی سال ۱۳۹۷ برای شهرهای مورد مطالعه

توان (W)	انرژی (w/m ²)	سرعت باد (m/s)	دما (°C)	ابرناکی (%)	ماه
شیراز					
۸۷-۱۲۷	۳۷۵-۵۵۰	۰/۲-۳/۲	۱۵-۲۵	۰-۴۷	اردیبهشت
۹۰-۱۲۷	۳۵۵-۵۰۰	۰-۴/۲	۳۲-۳۶	۰-۳۲	مرداد
۹۸-۱۲۷	۳۹۵-۵۴۵	۰-۳	۲۳-۳۰	۰-۲۵	مهر
۷۰-۱۱۵	۳۰۰-۵۰۰	۰-۵	۱/۵-۱۴/۵	۰-۴۲	بهمن
همدان					
۷۵-۱۲۲	۳۵۰-۵۵۰	۲/۴-۶	۴-۲۲	۵-۵۲	اردیبهشت
۹۲-۱۲۸	۴۰۵-۵۰۵	۱/۸-۸	۲۶-۳۲	۰-۵۲	مرداد
۶۰-۱۲۵	۲۶۰-۵۵۰	۱/۱-۵/۹	-۲۴/۵ ۱۲/۵	۰-۶۰	مهر
۵۰-۱۰۹	۲۲۵-۴۹۰	۱-۸	-۱۰-۹	۰-۵۹	بهمن
زنجان					
۸۰-۱۲۰	۳۵۰-۵۴۰	۱/۲-۴	۱-۲۰	۰-۵۰	اردیبهشت
۸۹-۱۲۳	۳۹۵-۵۰۰	۱-۳/۱	۲۴-۳۱	۰-۲۵	مرداد
۸۹-۱۲۲	۳۴۰-۵۳۸	۱/۱-۳	۱۳-۲۵/۵	۰-۴۰	مهر
۵۳-۱۰۳	۲۴۹-۴۵۲	۱/۲-۴/۸	-۱۰-۹	۰-۴۸	بهمن
آبیار					
۷۰-۱۱۰	۳۰۰-۵۱۰	۰/۸-۳/۵	۵-۲۹	۳-۶۰	اردیبهشت
۸۲-۱۱۲	۳۲۵-۵۰۰	۲-۸/۴	۲۳-۳۶	۰-۳۳	مرداد
۷۰-۱۱۲	۳۰۰-۴۹۰	۰/۸-۴/۵	۱۹-۲۸	۰-۴۰	مهر
۴۱-۹۸	۱۶۰-۴۱۰	۰/۱-۷/۱	۰-۱۷	۰-۵۲	بهمن

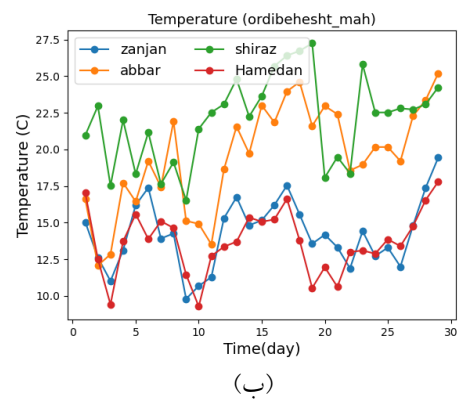


شهر شیراز دارای بیشترین تابش دریافتی و توان پنل تا نیمه اردیبهشت ماه بوده است. از نیمه ماه به بعد به دلیل افزایش پوشش ابری و دما و همچنین کاهش سرعت باد این شهر، تابش و توان پنل در شهر شیراز کمتر می شود. به طوری که از نیمه دوم ماه، شهر زنجان بالاترین تابش و توان پنل را داشته و بعد همدان و شیراز قرار دارند. البته کمترین تابش و توان مربوط به شهر آبیار است که هم دارای سرعت باد کم و هم دارای بالاترین دما نسبت به شهرهای دیگر است. روند منظم و یکسان برای همه شهرها در تغییرات تابش و توان پنل دیده نمی شود.

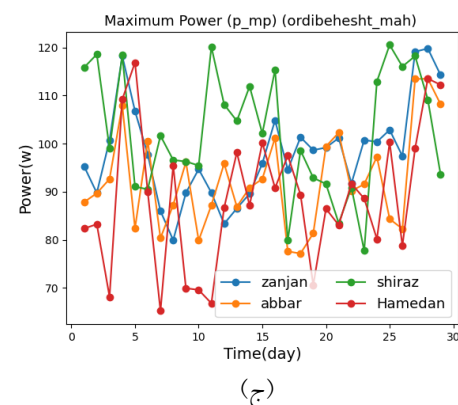
۳.۲. مقایسه داده‌های روزانه اردیبهشت‌ماه و مردادماه

نتایج تحلیل داده‌های مردادماه در شکل (۸) آورده شده است. با توجه به شکل‌های (۷) و (۸) در شهر شیراز، مقایسه توان دریافتی از پنل برای دو ماه اردیبهشت و مرداد نشان می‌دهد که در اردیبهشت‌ماه ابرناکی حدود ۱۵٪ بیشتر از مردادماه است و انتظار می‌رود توان دریافتی کمتر از مردادماه باشد، اما متوسط دمای هوا در مردادماه تقریباً ۱۶٪ بیشتر از اردیبهشت‌ماه است؛ به همین دلیل بازدهی پنل فتوولتائیک کاهش یافته و موجب گردیده است به رغم کم بودن درصد ابرناکی مردادماه، توان دریافتی از پنل برای دو ماه اردیبهشت و مرداد تقریباً یکسان باشد.

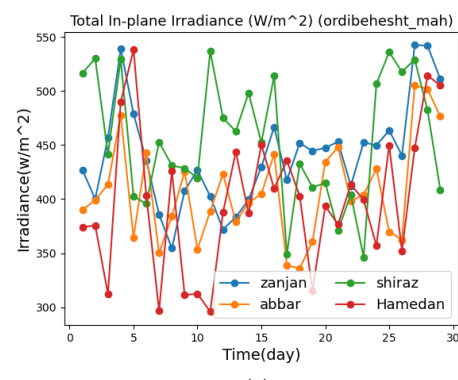
در شهر همدان درصد ابرناکی اردیبهشت‌ماه و مردادماه تقریباً یکسان است، اما دمای هوای مردادماه بیشتر از اردیبهشت‌ماه است. با این حال، توان دریافتی از پنل برای مردادماه بیشتر از اردیبهشت‌ماه است. این امر بهدلیل سرعت باد بیشتر مردادماه به نسبت اردیبهشت‌ماه است که موجب خنک شدن پنل و افزایش بازدهی آن شده است. در شهر زنجان، اردیبهشت‌ماه حدود ۲۵٪ ابرناک‌تر از مردادماه است. با وجود این، توان دریافتی از پنل در مردادماه بیشتر از اردیبهشت‌ماه است. این امر ناشی از آن است که گرچه دمای هوای هوای مردادماه بیشتر از اردیبهشت‌ماه است، دمای هوای آن قادر بالا نیست که بر توان خروجی پنل تأثیر محسوسی بگذارد؛ درنتیجه بهدلیل درصد ابرناکی کمتر مردادماه، توان خروجی پنل بیشتر است. در شهر آبیر، دمای هوای مردادماه بیشتر از اردیبهشت‌ماه است؛ اما اردیبهشت‌ماه ۳۰٪ بیشتر ابرناکی است و سرعت باد در مردادماه بیشتر از اردیبهشت‌ماه است؛ بنابراین توان خروجی مرداد بیشتر است. مقایسه میان ماههای مهر و بهمن با اردیبهشت‌ماه نیز تقریباً همین نتایج را نشان می‌دهد، بهطوری که در دو ماه مرداد و مهر توان خروجی پنل حدود ۱۰ درصد بیشتر از ماه اردیبهشت و در بهمن ماه همین مقدار توان کمتر از ماه اردیبهشت است. از طرف دیگر، اگر توان دریافتی از پنل در چهار شهر شیراز، همدان، زنجان و آبیر را مقایسه کنیم، درمی‌یابیم که میزان توان دریافتی از پنل در هر چهار شهر تقریباً یکسان است و کمتر از ۱۰ درصد اختلاف دارند؛ درنتیجه، با اینکه چهار شهر شیراز، همدان، زنجان و آبیر در اقلیم‌های متفاوتی واقع شده‌اند، توان در هر چهار منطقه تقریباً یکسان است؛ درنتیجه هر چهار شهر می‌توانند مناطق مناسبی برای نصب پنل فتوولتائیک باشند.



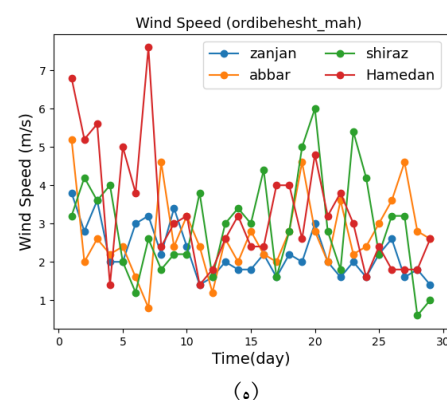
(ب)



(ج)

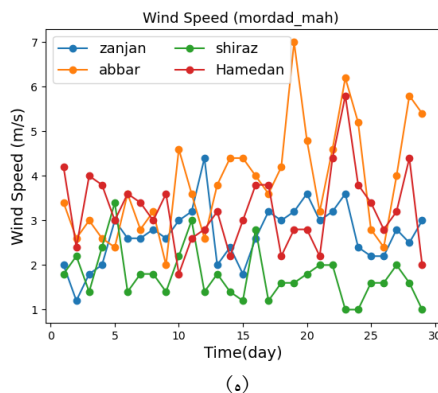


(د)

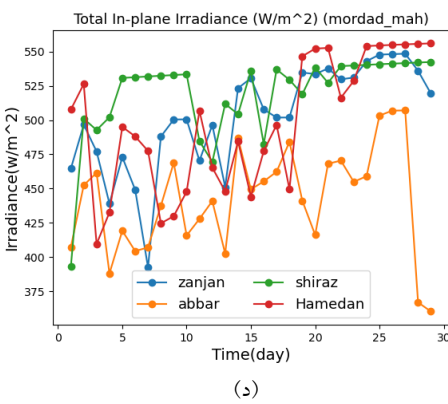
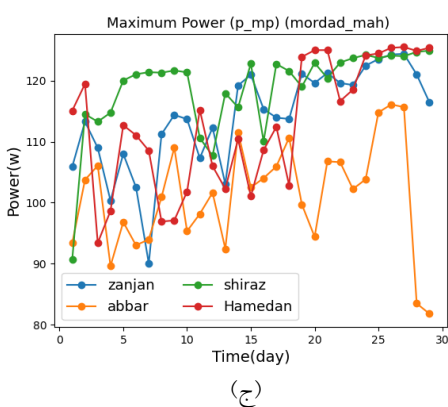
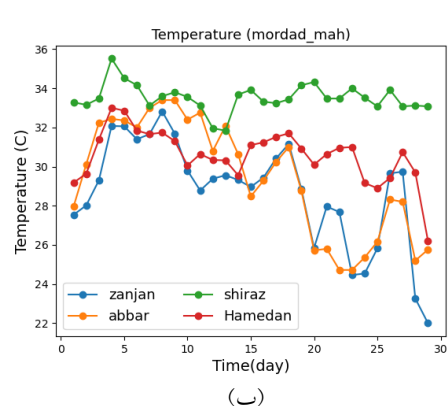
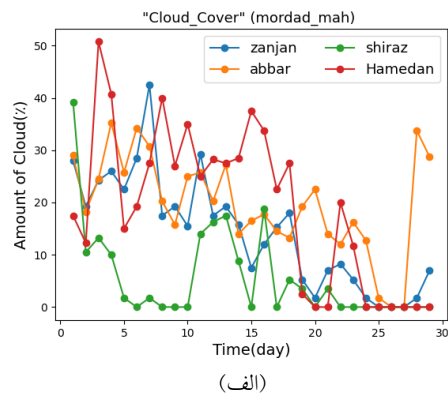


(ه)

شکل ۷ (الف): پوشش ابر، (ب): تایش دریافتی پنل، (ج): توان خروجی پنل، (د): سرعت باد، (ه): دمای هوای اردیبهشت‌ماه، چهار شهر شیراز، زنجان، همدان و آبیر سال ۹۷

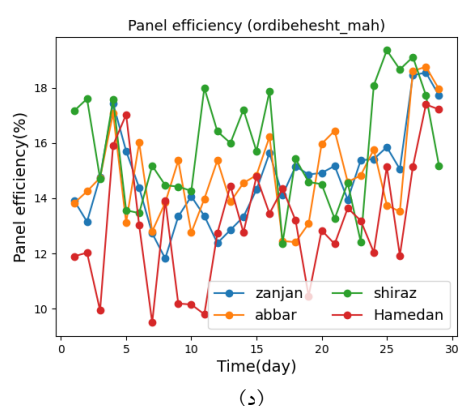
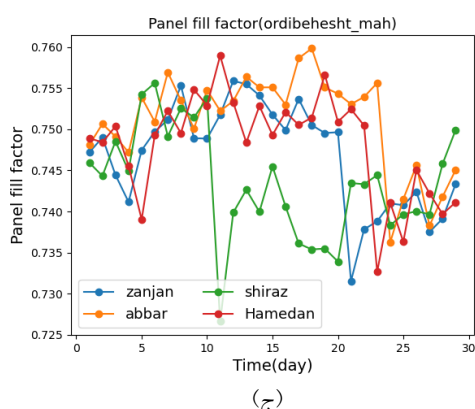
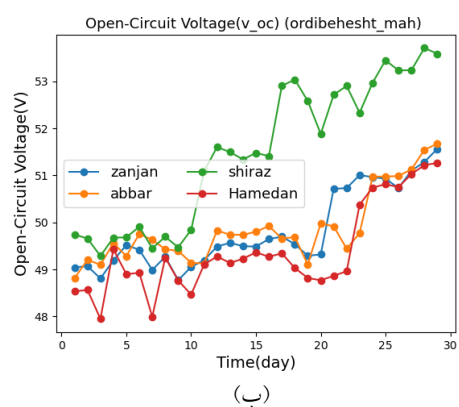
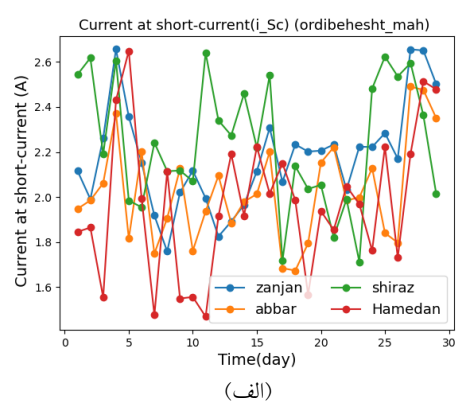


شکل ۸ (الف): پوشش ابر، (ب): تابش دریافتی پنل، (ج): توان خروجی پنل، (د): سرعت باد، (ه): دمای هوای مردادماه چهار شهر شیراز، زنجان، همدان و آبیر سال ۱۳۹۷



۴.۲ مقایسه چهار پارامتر اصلی روزانه اردیبهشت ماه و مردادماه

در این بخش، چهار پارامتر اصلی پنل خورشیدی، V_{oc} , Isc , FF و FF در این بخش، نمودار تغییرات پارامترهای فوق، برای مقایسه بین ماههای اردیبهشت و مرداد سال ۱۳۹۷ در شکل های (۹) و (۱۰) نشان داده شده اند. با ملاحظه نمودار شکل های فوق در ماه اردیبهشت، شیراز از نظر مقادیر Isc و V_{oc} دارای مقادیر بیشتر و همدان دارای مقادیر نسبتاً کمتری است. همچنین از نظر مقادیر FF دارای کمترین مقادیر نسبت به سه شهر دیگر است. روند تغییرات این پارامتر برای سه شهر زنجان، آبیر و همدان مشابه و نزدیک هم است. در ماه مرداد نیز نتیجه مشابه بوده با این تفاوت که کمترین مقادرهای به جای همدان شهر آبیر است. بنابراین با توجه به تأثیر سه پارامتر فوق بر روی بازده می توان چهار شهر را به ترتیب شیراز، زنجان، همدان و آبیر رتبه بندی کرد. این موضوع با ملاحظه شکل (۹-د) و (۱۰-د) مربوط به بازده تغییریاً تأیید می گردد. با مقایسه ماه اردیبهشت با ماه مرداد با توجه به شکل های (۹) و (۱۰) دیده می شود که دامنه تغییرات دو پارامتر Isc و V_{oc} در مردادماه نسبت به ماه اردیبهشت مقداری بیشتر شده و دامنه تغییرات FF تقریباً تغییری نکرده است. این امر سبب شده تا دامنه تغییرات بازده نیز در ماه مرداد نسبت به ماه اردیبهشت به مقادیر نسبتاً بیشتری جایه گردد. البته این مورد را می توان در جدول های (۸) و (۹) در ستون بازده با مقایسه بازده اردیبهشت و مرداد ملاحظه نمود. همان طور که دیده می شود، بازده برای ماه مرداد در هر چهار شهر نسبت به ماه اردیبهشت بیشتر است.



جدول (۸): مقادیر FF, V_{oc} , I_{sc} و بازده پنل در چهار ماه انتخابی

سال ۱۳۹۷

بازدۀ	FF	V_{oc}	I_{sc}	ماه	شهر
۱۵/۸۲	۰/۷۴	۴۸/۳۹	۲/۰۱	اردیبهشت شیراز	اردیبهشت
۱۸/۰۱	۰/۷۵	۵۱/۵۵	۲/۰۹		مرداد
۱۵/۰۸	۰/۷۵	۵۱/۹۸	۲/۴۲		مهر
۱۲/۹۲	۰/۷۵	۴۷/۷۰	۲/۴۱		بهمن
۱۲/۱۲	۰/۷۵	۴۸/۸۲	۲/۰۳	اردیبهشت همدان	اردیبهشت
۱۶/۹۸	۰/۷۵	۵۱/۶۷	۲/۱۸		مرداد
۱۴/۰۲	۰/۷۵	۵۱/۷۶	۲/۳۱		مهر
۱۰/۹۱	۰/۷۵	۴۹/۰۹	۲/۱۶		بهمن
۱۴/۷۴	۰/۷۴	۴۸/۴۴	۲/۱۵	زنجان	اردیبهشت
۱۷/۴۰	۰/۷۵	۵۱/۵۷	۲/۲۸		مرداد
۱۴/۴۲	۰/۷۵	۵۲/۰۲	۲/۵۷		مهر
۱۱/۵۲	۰/۷۴	۴۹/۶۹	۲/۶۹		بهمن
۱۴/۸۵	۰/۷۴	۴۸/۶۸	۲/۱۳	آبری	اردیبهشت
۱۶/۶۲	۰/۷۵	۵۱/۶۴	۲/۴۰		مرداد
۱۳/۵۲	۰/۷۵	۵۲/۰۱	۲/۵۶		مهر
۱۱/۶۹	۰/۷۴	۴۹/۷۰	۲/۶۱		بهمن

جدول (۹): مقادیر FF, V_{oc} , I_{sc} و بازده پنل در چهار ماه انتخابی

سال ۱۳۹۸

بازدۀ	FF	V_{oc}	I_{sc}	ماه	شهر
۱۶/۶۷	۰/۷۵	۴۲/۵۲	۱/۷۹	اردیبهشت شیراز	اردیبهشت
۱۷/۹۵	۰/۷۵	۳۶/۴۷	۱/۲۲		مرداد
۱۵/۸۵	۰/۷۵	۳۵/۳۲	۱/۳۷		مهر
۱۲/۳۶	۰/۷۴	۴۱/۹۰	۱/۸۵		بهمن
۱۴/۹۷	۰/۷۵	۴۲/۷۲	۱/۹۴	اردیبهشت همدان	اردیبهشت
۱۷/۱۲	۰/۷۴	۳۷/۰۶	۱/۱۳		مرداد
۱۵/۰۲	۰/۷۵	۳۵/۴۰	۱/۳۲		مهر
۱۰/۹۱	۰/۷۵	۴۱/۸۷	۱/۷۸		بهمن
۱۵/۶۳	۰/۷۴	۴۲/۸۰	۲/۰۷	زنجان	اردیبهشت
۱۸/۰۷	۰/۷۴	۳۶/۸۰	۱/۴۲		مرداد
۱۵/۲۴	۰/۷۴	۳۴/۸۳	۱/۵۴		مهر
۱۰/۷۹	۰/۷۳	۴۱/۱۶	۲/۰۹		بهمن
۱۵/۵۰	۰/۷۴	۴۳/۱۳	۲/۲۲	آبری	اردیبهشت
۱۷/۱۴	۰/۷۴	۳۶/۶۷	۱/۵۱		مرداد
۱۴/۱۷	۰/۷۴	۳۴/۹۳	۱/۶۲		مهر
۱۰/۲۰	۰/۷۴	۴۱/۶۸	۲/۰۳		بهمن

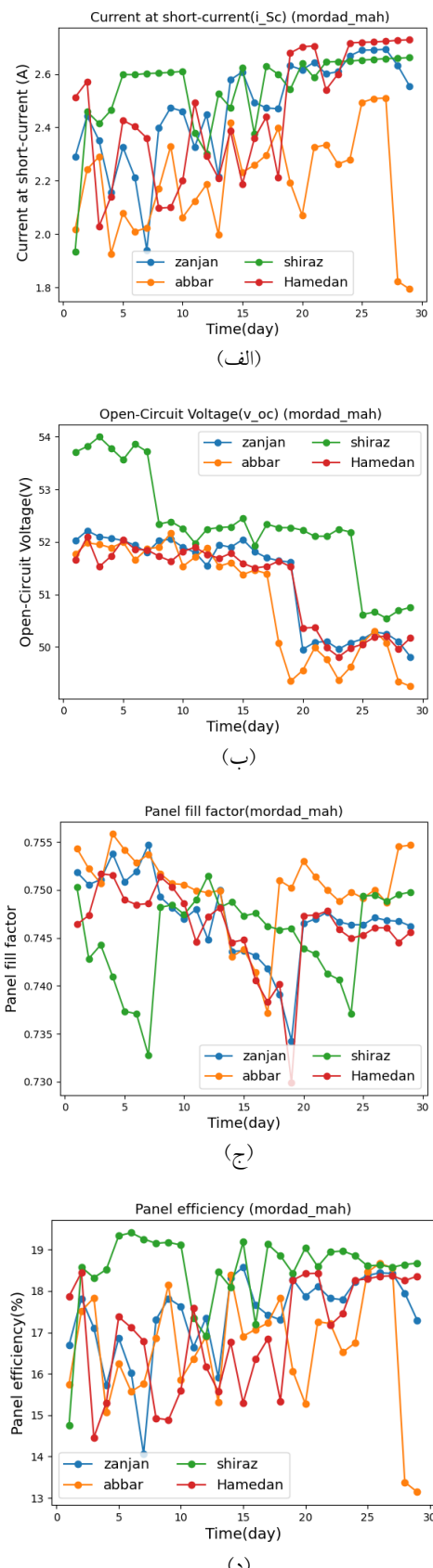
شکل ۹ (الف): FF, V_{oc} , I_{sc} و بازده پنل در چهار ماه انتخابی

چهار شهر شیراز، زنجان، همدان و آبری سال ۱۳۹۷

۴. نتیجه‌گیری

اکثر سرمایه‌گذاران و مردم بر این باورند که محیط‌های بسیار گرم و غیرکوهستانی همانند یزد، کرمان یا خوزستان بهترین مکان برای نصب پنل‌های و استفاده از انرژی الکتریکی است. متاسفانه هنوز به این آگاهی نرسیده‌اند که پنل‌های خورشیدی از فلزات و مواد ظرفی مثل سیلیکون که به دما حساس هستند تشکیل شده است. وقتی دمای پنل بالا برود بازدهی آن فوق العاده پایین می‌آید. در مناطق گرمسیر دمای پنل به بالای ۶۰ درجه می‌رسد. وقتی دمای پنل به این حد رسید، بازده پنل و تولید برق آن ۳۰ درصد کاهش می‌یابد. ما در این تحقیق دیدیم که محیط‌های خنک و کوهستانی درصورتی که ابر نباشد بازدهی بیشتر از محیط‌های گرم است و در واقع در روزهایی که هوا صاف است، کسری تولید انرژی روزهای ابری جبران می‌شود. مطابق جدول (۳) اردیبهشت‌ماه و مردادماه شیراز و همدان نشان‌دهنده افزایش توان پنل در شهر همدان در روزهای گرم مرداد است که در همین ماه از میزان توان خروجی شیراز بهدلیل گرمای هوا کاسته شده است. پس باید دنبال محیط‌هایی باشیم که دمای آن محیط‌ها پایین بوده یا بادخیز باشد تا دمای پنل پایین بیاید و بازدهی آن بالا برود. از دیگر مشکلاتی که در زمینه تولید انرژی از پنل داریم، این است که اکثر مردم و سرمایه‌گذاران بر این باورند که در هوای ابری تابش خورشید به صفر می‌رسد اما مطابق این تحقیق نشان داده شده است که اگر آسمان صدرصد ابری باشد، ۶۰٪ انرژی خورشید به پنل می‌رسد. برای مثال شهر همدان در بهمن‌ماه سال ۱۳۹۷ که ابرناکی بالای ۶۰ بوده، درصد چشمگیری انرژی خورشیدی رسیله به سطح پنل داشته است، و انرژی دریافتی پنل بیشتر از ۱۶۳ وات بر متر مربع است (جدول ۶). نکته جالب این است که تمام شهرهای ایران بهندرت روز صدرصد ابری را تجربه می‌کنند.

در طول سال با توجه به اقلیم‌های متفاوت که در نظر گرفتیم، به طور میانگین کمتر از ۵۰٪ ابر مشاهد می‌گردد؛ درنتیجه ۶۰٪ انرژی دریافتی که برای روزهای صدرصد ابری می‌تواند باشد، برای ۵۰٪ ابرناکی انرژی دریافتی پنل به بالای ۸۰٪ می‌رسد که مقدار درخور توجهی است. پس با این تفاسیر می‌توان نتیجه گرفت که شهرهای با اقلیم‌های مختلف با اختلاف تقریباً ۱۰٪ قابلیت نصب پنل را دارند. حتی مناطقی که کوهستانی یا ابرناکی باشند، انرژی دریافتی مناسب است. در عین حال با یک امتیازبندی برای هر کدام از پنج متغیر تابش کل دریافتی پنل (بالا مثبت و پایین منفی)، توان پنل (بالا مثبت و پایین منفی)، باد (بالا منفی و پایین مثبت)، دما (بالا منفی و پایین مثبت)، ابرناکی (بالا منفی و پایین منفی)، باد (بالا مثبت و پایین مثبت)، می‌توان از نظر مناسب بودن برای بهره‌برداری از پنل‌های خورشیدی برای سال ۱۳۹۷، چهار شهر مورد نظر را به ترتیب زنجان، همدان، شیراز، آبر و برای سال ۱۳۹۸، به ترتیب شیراز، زنجان، همدان و آبر اولویت‌بندی



شکل ۹ (الف): I_{sc} ، (ب): V_{oc} ، (ج): FF، (د): بازده، مردادماه چهار شهر شیراز، زنجان، همدان و آبر سال ۱۳۹۷

سپاسگزاری

این مقاله نتیجه گزارش طرح تحقیقاتی است که با حمایت مالی و مشاوره‌ای بنیاد علم ایران (صندوق حمایت از پژوهشگران) انجام شده است که بدین‌وسیله از بنیاد محترم قدردانی می‌گردد. همچنین از اداره‌کل هواشناسی زنجان که در تهیه داده‌های هواشناسی مساعدت نمودند، سپاسگزاری می‌گردد.

نمود. همچنین برای متوسط دو سال فوق اولویت‌بندی به صورت از نظر انرژی کل سالانه طبق جدول (۵)، چهار شهر فوق به ترتیب شیراز، همدان، زنجان و آبیر دارای مرتبه هستند. درنهایت با توجه به بخش ۴.۲، از نظر بازدهی پنل، رتبه‌بندی آن‌ها عبارت‌اند از: شیراز، زنجان، آبیر و همدان. بنابراین با جمع‌بندی این سه رتبه‌بندی می‌توان اولویت‌بندی نهایی را به صورت شیراز، زنجان، همدان و آبیر ارائه کرد.

مراجع

- [1] Bahramloeiian, S., "Study of solar energy on Zanjan province and applied case for design of solar water heater", MSc Thesis, Supervisors: Abedini, Y. and Asareh, H., University of Zanjan, 2015.
- [2] Green, M. A., "Third generation photovoltaics: solar cells for 2020 and beyond", Physica E: Low-dimensional Systems and Nanostructures, Vol. 14, pp. 65-70, 2002, [https://doi.org/10.1016/S1386-9477\(02\)00361-2](https://doi.org/10.1016/S1386-9477(02)00361-2).
- [3] Günes, S., Neugebauer, H., Sariciftci, N. S., "Conjugated polymer-based organic solar cells", Chemical Reviews, Vol. 107, pp. 1324-1338, 2007, <https://doi.org/10.1021/cr050149z>.
- [4] Hosseini M. E., "Estimating the maximum power of solar energy on tilted surfaces by atmospheric parameters in Iran", MSc Thesis, Institute of Abdorahman Soofi Razi, Zanjan, Iran, 2016.
- [5] Tonui, J. K., Tripanagnostopoulos, Y., "Air-cooled PVT solar collectors with low cost performance improvements", Solar energy, Vol. 81, No. 4, pp. 498-511, 2007, <https://doi.org/10.1016/j.solener.2006.08.002>.
- [6] Dabaghzadeh, N., Eslami, M., "Three dimensional transient numerical modeling of temperature distribution and output power in photovoltaic module", Energy Engineering and Management, Vol. 11, No. 2, PP. 106-115, 2021, <https://doi.org/10.22052/11.2.5>.
- [7] Armstrong, S., Hurely, W.G., "A thermal model for photovoltaic panels under varying atmospheric conditions", Applied Thermal Engineering, Vol. 30, No. 11, PP. 1488-1495, 2010, <https://doi.org/10.1016/j.applthermaleng.2010.03.012>.
- [8] Midya, P. e. et al., "Dynamic maximum power point tracker for photovoltaic applications". Power Electronics Specialists Conference, 1996, <https://doi.org/10.1109/PESC.1996.548811>.
- [9] Hussein, K.H. et al., "Maximum photovoltaic power tracking: an algorithm for rapidly changing atmospheric conditions", IEE Proceedings-Generation Transmission and Distribution, 142.1, 59-64, 1995.
- [10] Tina, G.M., Abate, R., "Experimental verification of thermal behaviour of photovoltaic modules", Electrotechnical Conference, The 14th IEEE Mediterranean, 2008, <https://doi.org/10.1109/MELCON.2008.4618497>.
- [11] Matsukawa, H., Kurokawa, K., "Temperature fluctuation analysis of photovoltaic modules at short time interval", Photovoltaic Specialists Conference, 31st IEEE, 1816-1819, 2005, <https://doi.org/10.1109/PVSC.2005.1488505>.
- [12] Crabtree, G.W., Lewis, N. S., "Solar energy conversion", Physics Today, Vol. 60, pp. 37-42, 2007, <https://doi.org/10.1063/1.2718755>.
- [13] Su, D.E., "Dynamic performance analysis of photovoltaic-thermal solar collector with dual channels for different fluids", Energy Conversion and Management, Vol. 120, pp. 13-24, 2016, <https://doi.org/10.1016/j.enconman.2016.04.095>.
- [14] Sabziparvar, A., Shetaee, H., "Estimation of global solar radiation in arid and semi-arid climates of East and West Iran", Energy, Vol. 32, pp. 649-655, 2007, <https://doi.org/10.1016/j.energy.2006.05.005>.
- [15] Ashjaee, M., Roomina, M.R., Ghafouri-Azar, R., "Estimating direct, diffuse global solar radiation for various cities in Iran by two", 1993, [https://doi.org/10.1016/0038-092X\(93\)90066-W](https://doi.org/10.1016/0038-092X(93)90066-W).
- [16] khaledi, P., Modeling solar cells by the drift-diffusion equations in the silicon and quantum dot structures, Msc Thesis, Azarbaijan Shahid Madani University, 2016.
- [17] Matthew, J.R., Clifford, H., Joshua S.S., "Global horizontal irradiance clear sky models: implementation and analysis", Sandia Reports, Sand 2012-2389, 2012, <https://doi.org/10.2172/1039404>.
- [18] Amori, K.E., Abd-AlRaheem, M.A., "Field study of various air based photovoltaic/thermal hydbrid solar collector", Renewable Energy, Vol. 63, pp. 402-414, 2014, <https://doi.org/10.1016/j.renene.2013.09.047>.
- [19] Ineichen, P., Perez R., "A new air mass independent formulation for the Linke turbidity coefficient", Solar Energy, Vol. 73, pp. 151-157, 2002, [https://doi.org/10.1016/S0038-092X\(02\)00045-2](https://doi.org/10.1016/S0038-092X(02)00045-2).
- [20] Slimani, M. E. A. et al., "A detailed thermal-electrical model of three photovoltaic/thermal (PVT) hybrid air collectors and photovoltaic (PV) module: comparative study under Algiers climatic", Energy Conversion and Management, Vol. 133, 2017, <https://doi.org/10.1016/j.enconman.2016.10.066>.
- [21] Kasten, F., "A simple parameterization of the pyrheliometric formula for determining the linke turbidity factor", Meteorologische Rundschau, Vol. 33, 1980.
- [22] Salehi, M. et al, "Effects of temperature and wind on the photovoltaic energy receives from the Sun in Zanjan provinence using PVLib python", The 4th Reg. Conf. on Climate Change and Global Warming, 2018.
- [23] King D.L., Kratochvil, J.A., "Photovoltaic array performance model", Sandia National Laboratories, SAND2004-3535, 2004, <https://doi.org/10.2172/919131>.
- [24] King, B. H. et al., "Procedure to determine coefficients for the Sandia Array Performance Model (SAPM)", SAND2016- 5284, 2016, <https://doi.org/10.2172/1256510>.